

# НАГРЕВ ДЕЙТЕРИЕВЫХ КЛАСТЕРОВ СВЕРХАТОМНЫМ УЛЬТРАКОРОТКИМ ЛАЗЕРНЫМ ИМПУЛЬСОМ

*B. П. Крайнов<sup>a</sup>, М. Б. Смирнов<sup>b</sup>*

<sup>a</sup> Московский физико-технический институт  
141700, Долгопрудный, Московская обл., Россия

<sup>b</sup> Российский научный центр «Курчатовский институт»,  
Институт молекулярной физики  
123182, Москва, Россия

Поступила в редакцию 13 ноября 2000 г.

Рассмотрены механизмы нагрева электронной компоненты больших дейтериевых кластеров полем сверхатомного ультракороткого лазерного импульса. В начале действия импульса определяющим является так называемый «вакуумный нагрев». Электроны, вылетая из кластера в вакуум с малой энергией под действием лазерного поля, через лазерный период возвращаются обратно, но уже с большой энергией порядка колебательной энергии в поле лазерного излучения, обусловливая нагрев кластера. При дальнейшем росте напряженности лазерного поля основная часть в увеличении электронной температуры берется за счет уменьшения потенциальной кулоновской энергии отталкивания электронов вследствие уменьшения их числа. Рассчитана динамика надбарьерной ионизации кластера на переднем фронте сверхатомного лазерного импульса. Результаты обсуждаются в свете недавних экспериментов, нацеленных на создание настольных источников моноэнергетических нейтронов, возникающих в результате слияния ядер дейтерия в образованной кластерной плазме.

PACS: 36.40.-c, 32.80.Rm

## 1. ВВЕДЕНИЕ

Последние экспериментальные исследования фотоионизации атомарных и молекулярных кластеров фемтосекундными лазерными импульсами сверхатомной интенсивности показали, что, возбуждая большие кластеры, состоящие из тысяч атомов, можно получать сверхнагретую микроплазму с температурой электронов до нескольких кэВ. Большой интерес представляют дейтериевые кластеры ввиду возможности создать плазму с кинетической энергией ядер дейтерия, достаточной для туннельной термоядерной реакции синтеза при столкновении двух таких ядер [1, 2]. Ядра дейтерия приобретают кинетическую энергию в несколько кэВ в результате кулоновского взрыва кластеров после удаления из них лазерным полем всех электронов.

Данная работа посвящена обсуждению механиз-

мов нагрева электронной компоненты дейтериевых кластеров на переднем фронте сверхатомного лазерного импульса, когда радиус кластера увеличивается еще незначительно в процессе очень быстрого отрыва электронов от родительских молекул дейтерия в кластере (так называемая внутренняя ионизация) и дальнейшего вылета этих электронов из самого кластера (так называемая внешняя ионизация). Мы предлагаем два механизма этого нагрева. Первый основан на том, что электрон с малой кинетической энергией, вылетая из кластера под действием лазерного поля, через долю лазерного периода может возвратиться обратно в кластер, но уже с энергией порядка колебательной энергии в поле лазерного излучения. После возврата в кластер этот электрон сталкивается с другими электронами и происходит процесс термализации электронной компоненты. Ее температура постепенно повышается по мере роста интенсивности излучения на переднем фронте лазерного импульса.

Другой механизм нагрева электронной компонен-

\*E-mail: krainov@cyberax.ru

\*\*E-mail: smirnov@imp.kiae.ru

ты связан с преобразованием кулоновской потенциальной энергии электронов, остающихся на данный момент времени в кластерном ионе в процессе внешней ионизации, в их кинетическую энергию. Этот механизм основан на модели многократной ионизации большого томас-фермиевского кластера сильным электромагнитным полем, развитой нами ранее [3]. В этой модели электроны большого кластерного иона находятся в сфере радиуса  $R' < R$ , где  $R$  — радиус ионной компоненты. В этой сфере плазма из электронов и положительно заряженных ионов является нейтральной и электрическое поле отсутствует. Таким образом, концентрация электронов кластерного иона в процессе внешней ионизации не меняется, а уменьшается лишь радиус  $R'$  электронной компоненты. Такой плазменный подход к проблеме требует, чтобы дебаевский радиус экранирования кулоновского поля электронов

$$r_D = \sqrt{\frac{T}{4\pi N}}$$

был бы меньше этого радиуса. Здесь  $T$  — электронная температура, а  $N$  — концентрация электронов. Как правило, в данной статье будет использоваться атомная система единиц, в которой заряд и масса электрона, а также постоянная Планка равны единице.

Мы не обсуждаем здесь механизм нагрева кластерных электронов, связанный с вынужденным обратным тормозным эффектом: электроны в присутствии лазерного поля при рассеянии на атомарных ионах в основном поглощают его энергию, а не излучают [4]. Этот механизм существен для кластеров из тяжелых элементов (например, атомов ксенона) [5], где образуются многозарядные атомарные ионы, и обратный тормозной эффект значителен. В нашем случае речь идет лишь об однозарядных ионах дейтерия, где вероятность такого эффекта мала.

Также не рассматривается нагрев электронов вследствие возбуждения коллективного дипольного резонанса Ми (поверхностный плазмон) [5]. Он достигается, когда частота лазерного поля совпадает с частотой Ми. В нашем случае частота лазерного поля значительно меньше частоты Ми.

Обратимся теперь к вопросу о проникновении лазерного поля в кластерную плазму. При небольшой степени ионизации лазерное поле свободно проникает вглубь всего кластерного иона. Это демонстрируют численные расчеты для кластеров из атомов ксенона [6], где ионизовались в основном лишь внешние оболочки  $5p^6$  и  $5s^2$ . При большой степени ионизации

кластеров из атомов тяжелых элементов лазерное поле проникает лишь на небольшую глубину внутрь кластера из-за поглощения при вынужденном обратном тормозном эффекте в процессе упругого рассеяния кластерных свободных электронов на многозарядных атомарных ионах кластера [7]. Однако для кластеров из молекул дейтерия, о которых идет речь в данной статье, этот эффект, как уже говорилось выше, несуществен. Глубина проникновения, связанная с возбуждением плазменных колебаний [8], имеет вид

$$\delta = \frac{c}{\omega \sqrt{|\varepsilon|}}. \quad (1)$$

Здесь  $\omega$  — частота лазерного излучения, а диэлектрическая проницаемость, обусловленная электронами проводимости, равна

$$\varepsilon = 1 - \frac{\omega_p^2}{\omega^2} < 0,$$

где плазменная частота

$$\omega_p = \sqrt{4\pi N} = 8.4 \text{ эВ.}$$

Типичная частота лазерного излучения гораздо меньше этого значения, что и обуславливает экранировку. Мы будем в расчетах использовать значение частоты  $\omega = 1.55 \text{ эВ}$ , соответствующее длине световой волны 800 нм [1, 2]. Тогда глубина проникновения поля составляет более 300 Å, т. е. значительно больше диаметра дейтериевого кластера.

В кластере молекулы дейтерия притягиваются друг к другу силами Ван-дер-Ваальса и образуют диэлектрическую жидкость. Концентрация ядер дейтерия в этой жидкости (она же равна концентрации электронов) равна  $N = 5.15 \cdot 10^{22} \text{ см}^{-3}$  [9], как и в макроскопической дейтериевой жидкости при температуре ниже температуры ее кипения, т. е. порядка концентрации атомов в металлах. В соответствии с этим значением концентрации среднее расстояние между молекулами дейтерия равно 3.4 Å, в то время как расстояние между двумя атомами в молекуле дейтерия гораздо меньше и составляет всего 0.7 Å. Мы предполагаем, что большой кластер, состоящий из тысяч молекул дейтерия, имеет сферическую форму (хотя экспериментально это доказано лишь для больших металлических кластеров).

## 2. ВНУТРЕННЯЯ ИОНИЗАЦИЯ

В самом начале сверхатомного лазерного импульса наступает момент времени, когда начинается внутренняя ионизация молекул дейтерия в кластере:

все электроны отрываются от родительских ядер и становятся обобществленными (но пока не вылетают наружу из кластера), а молекулярная связь разрывается, и образуются голые ядра дейтерия.

Процесс такой ионизации является надбарьерным. Он продолжается недолго: одну-две фемтосекунды (аналогичная картина имеет место и при ионизации ксеноновых кластеров сверхатомным лазерным импульсом, см. [6]). Действительно, если взять значение интенсивности лазера в максимуме, равное  $I = 5 \cdot 10^{16}$  Вт/см<sup>2</sup> (соответствующее значение максимальной напряженности поля в предположении его линейной поляризации равно  $F = 1.17$  а.е.), то для надбарьерной ионизации атомарного водорода (дейтерия) за 3 фс (т. е. примерно за лазерный период для волны светового диапазона с длиной волны 800 нм) согласно численным расчетам [10] требуется гораздо более слабое поле напряженностью  $F = 0.08$  а.е. Близкое значение  $F = 1/16$  а.е. следует и из правила Бете [11]. Эта же оценка справедлива и в случае молекулы водорода или дейтерия.

Впрочем, как показывают расчеты работы [12], туннельная ионизация при еще меньших значениях напряженности поля может быть определяющей в полной внутренней ионизации из-за наличия пространственного распределения лазерной интенсивности. Это не столь существенно для описания последующего процесса внешней ионизации.

Для типичного импульса гауссовой формы длительностью 35 фс [1, 2] огибающая напряженности поля (в атомных единицах) зависит от времени  $t$  (выраженного в фемтосекундах) как

$$F(t) = 1.17 \cdot \exp(-t^2/780) \quad (2)$$

и поле  $F = 0.08$  а.е. соответствует моменту времени  $t = -45$  фс до максимального значения при  $t = 0$ . Поэтому мы в расчетах процесса внешней ионизации начинаем отсчет времени с этого значения.

В процессе внутренней ионизации за 1–2 фс в самом начале лазерного импульса молекулярная связь, разумеется, исчезает и дейтериевый сферический кластер представляет собой полностью ионизованную плотную нейтральную плазму, состоящую из свободных электронов и ядер дейтерия. Например, в кластере радиусом  $R = 25$  Å (это значение типично для экспериментов [1, 2]) содержится

$$n = N(4\pi/3)R^3 = 3370$$

электронов. Таким образом, диэлектрический кластер становится металлическим!

### 3. ВНЕШНЯЯ ИОНИЗАЦИЯ

Обсудим теперь процесс внешней ионизации, при которой электроны вырываются из поверхности кластера наружу. Мы считаем, что эта ионизация также является полевой (холодной) и надбарьерной, т. е. лазерное поле является сверхатомным не только для внутренней, но и для внешней ионизации. Термовая ионизация (испарение нагретых электронов с поверхности кластера), определяемая формулой Ричардсона–Дэшмана, незначительна в данных условиях из-за быстрого протекания процесса ионизации. Конкуренцию к внешней надбарьерной ионизации составляет туннельная ионизация при более слабом поле, которой мы пренебрегаем. Конечно, такое пренебрежение может оказаться также некорректным в свете результатов упомянутой выше работы [12] для атомной ионизации, и этот вопрос требует дальнейшего выяснения.

Условие Бете [11], примененное нами для классической надбарьерной ионизации электронов из кластера, имеет простой вид

$$F(t) = \frac{E_Z^2}{4Z}. \quad (3)$$

Здесь  $Z = Z(t)$  — заряд кластерного иона в момент времени  $t$ ,  $E_Z$  — потенциал его дальнейшей ионизации. Он равен кулоновскому потенциалу соответствующего кластерного иона:

$$E_Z = \frac{Z(t)}{R}, \quad (4)$$

где  $R$  — радиус кластера, определяемый ядрами дейтерия (мы полагаем, что на переднем фронте лазерного импульса не происходит существенного увеличения этого радиуса из-за кулоновских сил отталкивания между ядрами дейтерия, см. соответствующие оценки ниже).

Итак, согласно (3), в момент времени  $t$ , определяемый из этого соотношения, из кластера вылетает  $Z(t)$  электронов.

Оставшиеся  $n - Z$  электронов в кластерном ионе сосредоточены в сфере меньшего радиуса  $R'$ , определяемого из условия электронейтральности этой сферы (см. Введение), т. е. из условия

$$\frac{n - Z}{n} = \left(\frac{R'}{R}\right)^3. \quad (5)$$

Область кластера между радиусами  $R'$  и  $R$  занята только ядрами дейтерия. Из уравнений (3) и (4) следует, что число вылетевших электронов  $Z$  связано

простым соотношением с амплитудой напряженности лазерного поля в данный момент времени:

$$Z(t) = 4R^2 F(t), \quad t < 0. \quad (6)$$

Исходя из этого соотношения, находим, что все 3370 электронов дейтериевого кластера радиусом  $25 \text{ \AA}$  вылетят наружу при напряженности поля  $F = 0.38 \text{ а.е.}$  в момент времени  $t = -29.5 \text{ фс}$  (см. (1)). Если же радиус кластера равен  $50 \text{ \AA}$ , то находящиеся в нем 26960 электронов вылетят наружу при напряженности поля  $F = 0.75 \text{ а.е.}$  в момент времени  $t = -18.5 \text{ фс}$ . Легко сделать аналогичные оценки для других значений пиковой напряженности лазерного импульса.

Конечно, такой подход справедлив при достаточно большой пиковой напряженности  $F$ , когда ионизация является надбарьерной, а именно, при выполнении условия

$$F > \frac{n}{4R^2} = \frac{\pi NR}{3}. \quad (7)$$

При фиксированном значении пиковой напряженности лазерного поля это условие ограничивает сверху радиус дейтериевого кластера  $R$ .

#### 4. ВАКУУМНЫЙ НАГРЕВ ЭЛЕКТРОНОВ КЛАСТЕРА

Электрон, вылетающий с поверхности  $r = R'$  кластерного иона с определенной энергией, попадает в поле действия лазерного излучения, и может быть возвращен им обратно внутрь через долю лазерного периода, в зависимости от фазы лазерного поля  $\varphi$  с энергией порядка колебательной энергии электрона. Это — так называемый механизм «вакуумного нагрева», предложенный Брунелем [13] для взаимодействия лазерного излучения с металлической поверхностью. Колебательная энергия электрона в данный момент времени, усредненная по периоду лазерного излучения, равна

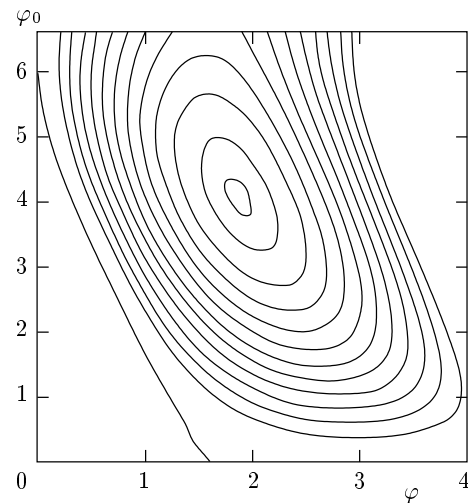
$$U_p = \frac{F^2(t)}{4\omega^2}. \quad (8)$$

Одномерное уравнение Ньютона для движения электрона в линейно поляризованном поле вдоль оси поляризации поля имеет вид

$$\frac{d^2x}{dt^2} = F(t) \cos(\omega t + \varphi). \quad (9)$$

Интегрируя его, находим текущую скорость электрона (значение времени в огибающей лазерного импульса считается параметром):

$$\frac{dx}{dt} = v + \frac{F(t)}{\omega} [\sin(\omega t + \varphi) - \sin \varphi]. \quad (10)$$



**Рис. 1.** Зависимость времени возврата электрона  $t$  (через фазу  $\varphi_0 = \omega t$ ) от начальной фазы лазерного поля  $\varphi$  согласно решению трансцендентного уравнения (12) при различных значениях скорости  $v$  вылетающего электрона, выраженной в единицах полевой скорости  $v_F = F(t)/\omega$ . Крайняя левая кривая соответствует  $v = 0$ . Затем кривые соответствуют значениям отношения  $v/v_F = 0.1, 0.2, 0.3, \dots, 1.1, 1.2$  и  $1.25$ . Минимальное значение времени возврата при данной начальной фазе лазерного поля  $\varphi$  соответствует первому возврату, следующее значение — второму возврату и т. п.

Здесь  $v$  — начальная скорость электрона в момент вылета из кластерного иона. Координата электрона обращается снова в нуль в момент времени  $t$ , когда

$$x(t) = \frac{F(t)}{\omega^2} [\cos \varphi - \cos(\omega t + \varphi)] + \\ + \left[ v - \frac{F(t)}{\omega} \sin \varphi \right] t = 0. \quad (11)$$

Таким образом, для определения указанного времени возврата получаем трансцендентное уравнение

$$\left[ \frac{v}{v_F} - \sin \varphi \right] \varphi_0 = \cos(\varphi + \varphi_0) - \cos \varphi. \quad (12)$$

Здесь обозначена фаза возврата  $\varphi_0 = \omega t$  и введена полевая скорость

$$v_F = F(t)/\omega.$$

На рис. 1 представлено решение уравнения (12) в виде зависимости  $\varphi_0$  от начальной фазы  $\varphi$  для различных значений начальной скорости  $v/v_F = 0, 0.1, 0.2, \dots, 1.2, 1.25$ . При  $v = 0$  это решение известно для соответствующей задачи

в теории туннельной ионизации атомов сильным низкочастотным полем [14]. Видно, что для каждого значения скорости возврат имеет место только в ограниченном интервале начальных фаз  $\varphi$  лазерного излучения. При достаточно большой скорости, а именно, при  $v \geq 1.25v_F$  (центральная замкнутая кривая с наименьшей площадью на рис. 1) электроны вообще не возвращаются обратно в кластер, а улетают на бесконечность со скоростью  $v$ . Конечно, в расчетах надо иметь в виду, что электрон может вылетать как в положительном, так и в отрицательном направлениях оси  $x$ .

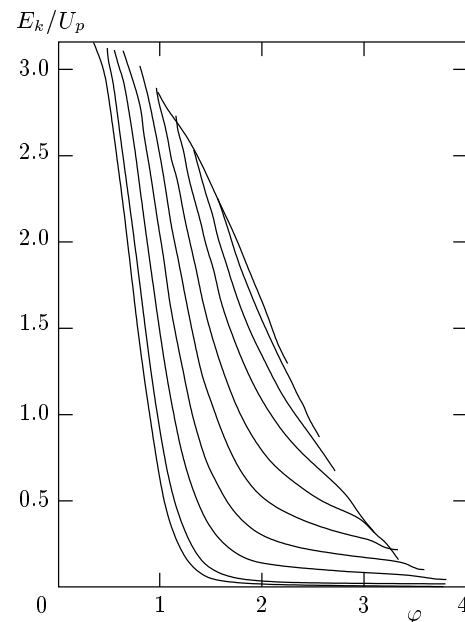
В таком подходе мы считаем электрон классической частицей и пренебрегаем расплыванием волнового пакета электрона при его движении после ионизации. С квантовомеханической точки зрения это соответствует тому, что мы пренебрегаем поперечной по отношению к вектору поляризации лазерного поля скоростью электрона по сравнению с его продольной скоростью. Наличие поперечной скорости уменьшает вероятность возврата электрона обратно в кластер. Однако по сравнению с соответствующей задачей возврата электрона при туннельной ионизации атома благоприятным фактором для кластера являются его большие размеры. Кроме того, как и в проблеме для атома, мы увидим, что наиболее существенны электроны, вылетающие из кластера с малой энергией. При этом поперечные скорости достаточно малы по сравнению с продольными скоростями. Мы оценим их ниже.

Полученные кривые на рис. 1 позволяют рассчитать кинетическую энергию электрона в момент возврата обратно в кластер как функцию начальной фазы  $\varphi$ :

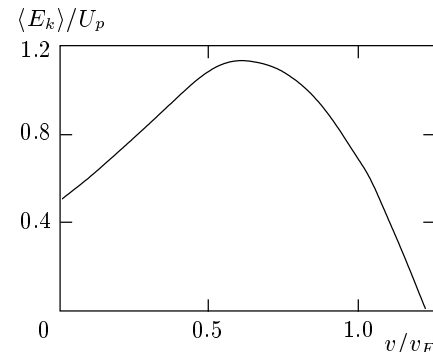
$$\begin{aligned} E_k &= \frac{1}{2} \left( \frac{dx(t)}{dt} \right)^2 = \\ &= 2U_p \left[ \frac{v}{v_F} + \sin(\varphi + \varphi_0) - \sin \varphi \right]^2. \quad (13) \end{aligned}$$

Результаты расчета представлены на рис. 2 для тех значений скорости электрона, что и на рис. 1. Отметим известное из работы Коркума [14] для ионизации атомов максимальное значение кинетической энергии  $E_k = 3.17U_p$ , достигаемое при нулевой начальной скорости электрона и фазе  $\varphi = 17^\circ$ .

Считая, что эта фаза принимает случайные значения, можно усреднить выражение (13) равномерно по фазе. Результат представлен на рис. 3, где средняя энергия возвращающегося электрона представлена как функция начальной скорости электрона, с которой он вылетает с поверхности кластера



**Рис. 2.** Зависимость кинетической энергии возвращающегося в кластер электрона (в единицах колебательной энергии  $U_p$ ) от начальной фазы лазерного поля  $\varphi$  согласно соотношению (13) при различных значениях скорости вылетающего электрона, идентичных приведенным на рис. 1. Значение скорости возрастает от крайней левой кривой вправо



**Рис. 3.** Зависимость средней кинетической энергии возвращающегося в кластер электрона (в единицах колебательной энергии  $U_p$ ) от его скорости  $v$  в момент вылета из кластера, выраженной в единицах полевой скорости  $v_F = F(t)/\omega$

$r = R'$ . Видно, что эта энергия составляет существенную часть колебательной энергии, и поэтому данный механизм так называемого «вакуумного нагрева» Брунеля [13], в принципе, может обеспечивать нагрев оставшихся электронов внутри кластер-

ного иона на переднем фронте лазерного импульса и должен быть учтен в энергетическом балансе при внешней ионизации кластера.

Конечно, если вычесть из энергии возвращающегося электрона энергию вылетающего электрона  $v^2/2$ , то результирующая разность может быть как положительной (нагрев электронной компоненты), так и отрицательной (ее охлаждение). Поэтому важную роль играет то, с преимущественно какими начальными скоростями  $v$  вылетают электроны при внешней ионизации. Здесь можно воспользоваться известными результатами для туннельной и надбарьерной ионизаций атомов [15]. Распределение вылетевших электронов по продольным скоростям (вдоль направления вектора напряженности лазерного поля) имеет вид гауссовой кривой с максимумом при нулевой скорости:

$$dZ \propto \exp\left(-\frac{v^2\gamma^3}{3\omega}\right) dv. \quad (14)$$

Здесь введен параметр Келдыша [16]

$$\gamma = \frac{\omega\sqrt{2E_z}}{F(t)} = \omega\sqrt{\frac{8R}{F(t)}}. \quad (15)$$

Мы использовали результаты (4) и (6) при выводе выражения для этого параметра. Строго говоря, выражение (14) верно для туннельной ионизации. При надбарьерной ионизации туннельная экспонента заменяется на функцию Эйри (см. соответствующие распределения в работе [17]). Но нам требуется не столько само энергетическое распределение вылетающих электронов, сколько характерные продольные скорости, а они имеют одинаковую буквенную оценку для туннельной и надбарьерной ионизаций [17]. Согласно (14), типичное значение продольной скорости, существенное для вылетающих электронов, можно оценить следующим образом:

$$v = \sqrt{\frac{3\omega}{\gamma^3}}, \quad \frac{v}{v_F} = \frac{\sqrt{3}}{[F(t)]^{1/4}(8R)^{3/4}}. \quad (16)$$

В максимуме лазерного импульса (при  $t = 0$ ) из (16) получим  $v/v_F = 0.02$ , в то время как при  $t = -45$  фс ( $F = 0.08$  а.е.) находим  $v/v_F = 0.04$ .

Выражение (14) справедливо, если параметр Келдыша  $\gamma$  меньше или порядка единицы. Для параметров кластера и лазерного поля, используемых выше в качестве типичного примера, значение этого параметра порядка единицы.

Что касается характерной поперечной скорости  $v_{\perp}$ , определяющей расплывание электронного волн-

нового пакета, то она также при надбарьерной ионизации имеет ту же оценку, что и при туннельной ионизации, а именно [17],

$$v_{\perp} \propto \frac{\sqrt{F(t)}}{(2E_Z)^{1/4}} \ll v. \quad (17)$$

Таким образом, можно сделать вывод, что абсолютное большинство электронов вылетают из кластера с малыми скоростями в сравнении с полевой скоростью (как и в атоме при туннельной ионизации) и, следовательно, согласно рис. 3, средняя кинетическая энергия влетающего обратно в кластер электрона равна

$$E_k \approx U_p/2.$$

Таким образом, энергия, поглощаемая электронами кластерного иона в единицу времени от лазерного излучения, дается простым соотношением:

$$\frac{d\varepsilon}{dt} = \frac{F^2(t)}{8\omega^2} \frac{dZ}{dt}. \quad (18)$$

Здесь величина  $dZ/dt$  определяет число электронов, вылетающих из кластера в единицу времени. Часть этих электронов возвращается через долю лазерного периода обратно в кластер и нагревает оставшиеся в кластере электроны, в то время как другая часть улетает безвозвратно на бесконечность. Этот процесс продолжается до тех пор, пока в кластере еще остаются электроны. Как уже отмечалось выше, он заканчивается до момента времени  $t = 0$ , когда напряженность лазерного поля принимает максимальное значение в импульсе. Отмеченное выше расплывание электронного волнового пакета может привести лишь к некоторому уменьшению численного множителя в (18).

## 5. ЭНЕРГЕТИЧЕСКИЙ БАЛАНС

Энергия (18) тратится на нагрев электронной компоненты и изменение потенциальной энергии электронов (обмена энергией между электронной и ионной компонентой не происходит в течение ультракороткого лазерного импульса). Часть энергии уходит вместе с электронами, испускаемыми при внешней ионизации. Энергетический баланс имеет следующий вид [7]:

$$\begin{aligned} \frac{d\varepsilon}{dt} - \left[ \frac{3}{2}T - \frac{Z}{R} \right] \frac{dZ}{dt} &= \\ = \frac{d}{dt} \left\{ \frac{3}{2}(n - Z(t))T(t) + \frac{3}{5} \frac{(n - Z(t))^2}{R'} \right\}. \end{aligned} \quad (19)$$

Здесь мы учли, что электроны кластерного иона распределены однородно в сфере радиуса  $R' < R$ , определяемого соотношением (5) (см. Введение). Первое слагаемое в правой части (19) представляет собой изменение кинетической энергии электронов, остающихся в кластерном ионе на данный момент времени, в единицу времени. Второе слагаемое — это скорость изменения их потенциальной кулоновской энергии.

Второе слагаемое в левой части (19) представляет собой энергию электронов, вылетающих в единицу времени из кластерного иона. При этом величина  $3T/2$  — средняя энергия вылетающего электрона внутри кластерного иона, а  $Z/R$  — энергия, теряемая им при вылете из кластерного иона наружу.

Величина  $T(t)$  представляет собой электронную температуру. Конечно, для того чтобы эта температура действительно установилась, нужны эффективные электрон-электронные столкновения внутри кластера. Они обеспечиваются, если длина свободного пробега электрона меньше  $R'$ . Оценим эту длину по известным формулам теории столкновений в плазме [18], подставив в нее вместо электронной температуры среднюю кинетическую энергию возвращавшегося электрона согласно соотношению  $E_k = 3T/2$ :

$$l = v_e \tau_{ee} = \sqrt{2E_k} \frac{3(2E_k/3)^{3/2}}{4\sqrt{2\pi} N \ln \Lambda}. \quad (20)$$

Здесь кинетическая энергия электрона, согласно приведенным выше расчетам, оценивается как  $E_k = U_p/2$ ,  $v_e = \sqrt{2E_k}$  — скорость электрона внутри кластера, типичное значение кулоновского логарифма  $\ln \Lambda$  может быть взято равным 10, а  $N$  — концентрация электронов внутри кластера (она не меняется в процессе внешней ионизации, так как электроны сжимаются в сферу меньшего радиуса). При типичной напряженности поля во время лазерного импульса  $F = 0.25$  а.е. из (18) находим, что  $l = 4 \text{ \AA}$ . Таким образом, электроны часто сталкиваются друг с другом внутри кластера, устанавливая максвелловское распределение по температуре. Исключение составляет заключительная часть процесса внешней ионизации, когда величина  $l$  сильно растет, в то время как  $R'$  уменьшается. Эти соображения обосновывают уравнение (19) для баланса энергии и сам механизм перерассеяния электронов.

Подставляя в (19) соотношения (5) и (18), окончательно получаем следующее уравнение для определения электронной температуры:

$$(n - Z) \frac{dT}{dt} = \frac{2}{3R} \times \\ \times \left[ Z + \frac{Z^2}{128R^4\omega^2} + n^{1/3}(n - Z)^{2/3} \right] \frac{dZ}{dt}. \quad (21)$$

Здесь число вылетевших электронов  $Z(t)$  определяется из соотношения (6).

Второе слагаемое в правой части (21), ответственное за энергию, возвращающуюся в кластерный ион при вакуумном нагреве, мало по сравнению с первым слагаемым в правой части (21). Действительно, их отношение равно

$$\frac{Z}{128R^4\omega^2}.$$

Максимальное значение этого отношения достигается при  $Z = n$ . Для кластера радиусом 25 Å получим, что это отношение равно  $0.08 \ll 1$ .

Таким образом, можно сделать вывод, что вакуумным нагревом можно пренебречь и нагрев электронов, остающихся внутри кластерного иона, определяется лишь потенциальной кулоновской энергией электронов.

Пренебрегая этим слагаемым, перепишем уравнение (21) в виде

$$(n - Z) \frac{dT}{dZ} = \frac{2}{3R} \left[ Z + n^{1/3}(n - Z)^{2/3} \right]. \quad (22)$$

Интегрируя его, находим универсальную связь между электронной температурой кластерного иона и его зарядом. Введем обозначения

$$y = \frac{3RT}{2n}, \quad x = \frac{Z}{n}.$$

Получаем (в предположении, что температура равна нулю в отсутствие внешней ионизации):

$$y = -\ln(1-x) - x + \frac{3}{2} \left[ 1 - (1-x)^{2/3} \right]. \quad (23)$$

График этой зависимости представлен на рис. 4. Величина  $x$  меняется в пределах от 0 до 1. Зависимость электронной температуры от времени определяется этим соотношением вместе с соотношением (6), дающим заряд кластерного иона как функцию времени.

Например, при  $x = Z/n = 1/2$  из (23) получим, что электронная температура равна

$$T_{1/2} \approx \frac{n}{2R}.$$

В частности, для кластера радиусом 25 Å находим, что  $T_{1/2} = 0.97$  кэВ.

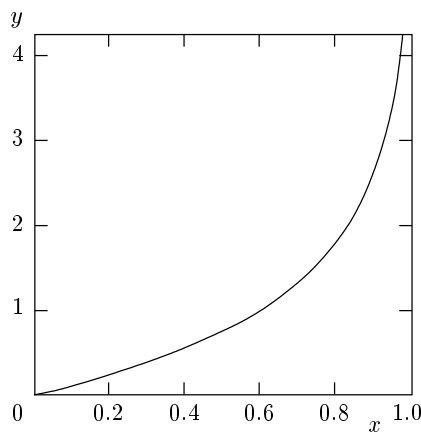


Рис. 4. Универсальная зависимость электронной температуры кластерного иона (в единицах  $y = 3RT/2n$ ) от заряда этого иона (в единицах  $x = Z/n$ )

В соответствии с (22) полная электромагнитная энергия, поглощенная одним кластером, равна его первоначальной кулоновской энергии (в пренебрежении вкладом вакуумного нагрева в полную энергию в соответствии с приведенными выше оценками)

$$\delta E = \frac{3n^2}{5R}. \quad (24)$$

Средняя температура вылетевших электронов в указанных условиях, когда они все вылетают из кластера, не зависит от интенсивности лазерного излучения (конечно, при условии, что это излучение является сверхатомным) и равна

$$\langle T \rangle = \frac{2n}{5R}. \quad (25)$$

Отметим, что она близка к температуре  $T_{1/2}$ , при которой из кластера вылетает половина всех электронов. В частности, для кластера радиусом  $25 \text{ \AA}$  получим среднюю электронную температуру, равную  $0.78 \text{ кэВ}$ , а для кластера радиусом  $50 \text{ \AA}$  она равна  $3.1 \text{ кэВ}$ . Независимость этой величины от пиковой интенсивности лазерного излучения объясняется тем, что в более сильном лазерном поле «не работает» центральная часть лазерного импульса.

Если взять кластер больших размеров, например, радиусом  $80 \text{ \AA}$  (он содержит 110000 электронов), то согласно (6) надбарьерным образом в лазерном поле (1) может быть ионизовано только 107000 электронов. Таким образом, можно сделать вывод, что эффективность внешней ионизации кластера уменьшается с ростом его размеров (при заданной интенсивности лазерного излучения).

## 6. ЗАКЛЮЧЕНИЕ

После вылета всех электронов издейтериевого кластера радиусом  $25 \text{ \AA}$  в поле с пиковой интенсивностью  $5 \cdot 10^{16} \text{ Вт}/\text{см}^2$  в момент времени  $t = -29 \text{ фс}$  образуется шар, состоящий только из положительно заряженных ядердейтерия, с концентрацией ядер  $N = 5.15 \cdot 10^{22} \text{ см}^{-3}$ . В этот момент начинается кулоновский взрыв, при котором вся потенциальная кулоновская энергия этого шара  $n^2/2R$  превращается в кинетическую энергию ядердейтерия. Средняя кинетическая энергия одного ядра составляет

$$E_d = n/2R = 0.95 \text{ кэВ},$$

а максимальная энергия

$$n/R = 1.9 \text{ кэВ}.$$

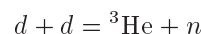
Кластер начинает достаточно быстро расширяться: его радиус утраивается по сравнению с первоначальным значением примерно за последующие 30 фс, т. е. уже к моменту максимума лазерного импульса. Отметим, что в случае кластера из атомов ксенона расширение кластера идет одновременно с внешней ионизацией ввиду многократного характера ионизации [6].

В итоге образуетсядейтериевая плазма со средней концентрацией электронов и ядердейтерия, равной  $N' = 10^{19} \text{ см}^{-3}$  [2]. Время столкновения ядердейтерия друг с другом можно оценить по соответствующей формуле плазменных столкновений [18]:

$$\tau_{ii} = \frac{3\sqrt{M}(2E_d/3)^{3/2}}{4\sqrt{2\pi}N'\ln\Lambda}. \quad (26)$$

Здесь  $M$  — приведенная масса ядрадейтерия при столкновении двух ядер друг с другом, а  $E_d$  — его кинетическая энергия. Подставляя приведенные выше значения, получим для этого времени оценку в 1–3 нс. Таким образом, можно сделать вывод, что в этой плазме заведомо не успевает установиться максвелловское распределение и, скорее всего, распределение ядердейтерия по кинетическим энергиям следует считать равномерным от нуля до максимального значения, равного  $2E_d$ .

Конечно, в отсутствие высокоэнергетическихдейтеронов ядерная реакция слияния



практически не идет, так как сечение туннельной реакции весьма мало: при энергии дейтеронов  $E_d = 2 \text{ кэВ}$  оно равно  $10^{-37} \text{ см}^2$  [19]. Для заметной величины выхода нейтронов нужны дейтероны с энергиями более  $10 \text{ кэВ}$ .

По-видимому, в экспериментах [1, 2], где наблюдался выход нейтронов до  $10^4$  на лазерный импульс, имеют место коллективные механизмы передачи энергии от электронов к ядрам дейтерия, приводящие к высокоэнергетическим ядрам. Один из них может быть связан с процессом, аналогичным амбиполярной диффузии, при которой электроны, вылетая из кластера, тянут за собой часть ядер дейтерия кулоновскими силами притяжения. Разнообразные неустойчивости в дейтериевой плазме также могут приводить к появлению дейтронов высокой энергии. Так, в работе [2] средняя кинетическая энергия дейтронов составляла 12 кэВ! Наконец, может иметь место механизм, предложенный А. Д. Сахаровым и состоящий в том, что внешняя ионизация происходит очень быстро и наблюдается начальное частичное сжатие ионного шара из-за отдачи при вылете всех электронов. Анализ этих механизмов требует отдельного рассмотрения.

Работа выполнена при финансовой поддержке Российского фонда фундаментальных исследований (гранты № 99-02-17810 и 01-02-16056). Авторы благодарят проф. Т. Дитмайера за ценные советы и участников Московского семинара по многофотонным процессам (руководитель — проф. Н. Б. Делоне) за обсуждение работы.

## ЛИТЕРАТУРА

1. T. Ditmire et al., Nature (London) **398**, 489 (1999).
2. J. Zweiback et al., Phys. Rev. Lett. **85**, 3640 (2000).
3. М. Б. Смирнов, В. П. Крайнов, ЖЭТФ **115**, 2014 (1999).
4. M. V. Fedorov, *Atomic and free electrons in a strong light field*, World Scientific, Singapore (1997).
5. T. Ditmire et al., Phys. Rev. A **53**, 3379 (1996).
6. I. Last and J. Jortner, Phys. Rev. A **62**, 013201 (2000).
7. В. П. Крайнов, М. Б. Смирнов, УФН **170**, 969 (2000).
8. Л. Д. Ландау, Е. М. Лифшиц, *Электродинамика сплошных сред*, Наука, Москва (1982).
9. *Handbook of Chemistry and Physics*, 79<sup>th</sup> ed., ed. by D. R. Lide, CRC Press, London (1998–1999).
10. D. Bauer and P. Mulser, Phys. Rev. A **59**, 569 (1999).
11. Г. Бете, Э. Солпитер, *Квантовая механика атомов с одним и двумя электронами*, Физматгиз, Москва (1960).
12. M. V. Ammosov and N. B. Delone, Laser Physics **7**, 79 (1997).
13. F. Brunel, Phys. Rev. Lett. **59**, 52 (1987).
14. P. B. Corkum, Phys. Rev. Lett. **71**, 1994 (1993).
15. N. B. Delone and V. P. Krainov, *Multiphoton Processes in Atoms*, 2<sup>nd</sup> ed., Berlin, Springer (2000).
16. Л. В. Келдыш, ЖЭТФ **47**, 1945 (1964).
17. V. P. Krainov, J. Opt. Soc. Amer. B **14**, 425 (1997).
18. В. П. Силин, ЖЭТФ **47**, 2254 (1964).
19. E. Teller, *Fusion*, Academic Press, New York (1981).